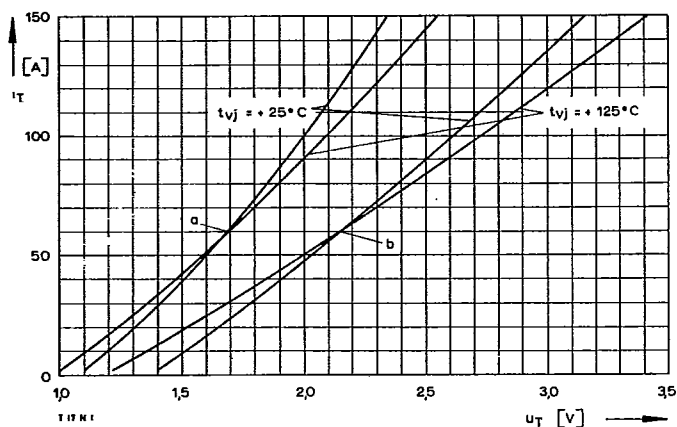
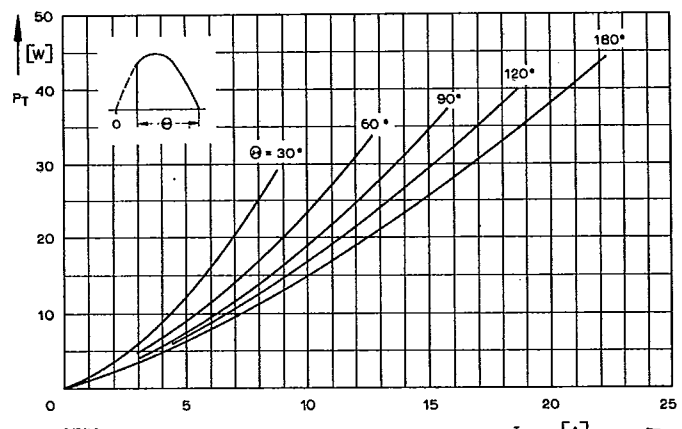


Type Range		T17N	200*	400	600	800	900	1000	1100	1200	1400*	
Electrical Properties												
Höchstzulässige Werte		Maximum permissible values										
U_{DRM} , U_{RRM}	Periodische Vorwärts- und Rückwärts-Spitzenperrspannung	repetitive peak forward off-state and reverse voltages									200...1400	V
I_{TRMSM}	Effektiver Durchlaßstrom	RMS on-state current									35	A
I_{AVM}	Dauergrenzstrom	average on-state current	$t_c = 85^\circ\text{C}$								17	A
I_{TRM}	Periodischer Spitzenstrom	repetitive peak on-state current	$t_c = 68^\circ\text{C}$								22	A
I_{TSM}	Stoßstrom-Grenzwert	surge current	$t = 10 \text{ ms}, t_v = 45^\circ\text{C}$								210	A
$\int i^2 dt$	Grenzlastintegral	$\int i^2 dt$ -value	$t = 10 \text{ ms}, t_v = 125^\circ\text{C}$								390	A
$(di/dt)_{cr}$	Kritische Stromsteilheit	critical rate of rise of on-state current	$t = 10 \text{ ms}, t_v = 45^\circ\text{C}$								350	A
$(du/dt)_{cr}$	Kritische Spannungssteilheit	critical rate of rise of off-state voltage	$t = 10 \text{ ms}, t_v = 125^\circ\text{C}$								760	A ² s
			nicht periodisch/non repetitive								612	A ² s
			Dauerbetrieb/continuous operation, $i_{TM} = 160 \text{ A}$								500	A/ μ s
			Steuergenerator/pulse generator:								100	A/ μ s
			$u_L = 8 \text{ V}, i_G = 0,4 \text{ A}, di_G/dt = 0,4 \text{ A}/\mu\text{s}$									
			$u_D = 67\% U_{DRM}$									
			5. Kennbuchstabe/5th letter B								50	V/ μ s
			5. Kennbuchstabe/5th letter C								400	V/ μ s
			5. Kennbuchstabe/5th letter F								1000	V/ μ s
Characteristic Values		Characteristic values										
u_T	Obere Durchlaßspannung	max. on-state voltage	$t_v = 25^\circ\text{C}, i_T = 80 \text{ A}$								2,38	V
$U_{(TO)}$	Schleusenspannung	threshold voltage	$t_v = 125^\circ\text{C}$								1,1	V
r_T	Ersatzwiderstand	slope resistance	$t_v = 125^\circ\text{C}$								16	m Ω
U_{GT}	Obere Zündspannung	max. gate trigger voltage	$t_v = 25^\circ\text{C}, u_D = 6 \text{ V}, R_A = 10 \Omega$								2,5	V
I_{GT}	Oberer Zündstrom	max. gate trigger current	$t_v = 25^\circ\text{C}, u_D = 6 \text{ V}, R_A = 10 \Omega$								150	mA
	Unterer Zündstrom	min. gate trigger current	$t_v = 125^\circ\text{C}, u_D = 6 \text{ V}, R_A = 10 \Omega$								5	mA
I_H	Oberer Haltestrom	max. holding current	$t_v = 25^\circ\text{C}, u_D = 6 \text{ V}, R_A = 10 \Omega$								200	mA
I_L	Oberer Einraststrom	max. latching current	$t_v = 25^\circ\text{C}, u_D = 6 \text{ V}, R_{GK} \geq 20 \Omega$								600	mA
			Steuergenerator/pulse generator: $i_G = 0,6 \text{ A}, di_G/dt = 0,6 \text{ A}/\mu\text{s}, t_g = 10 \mu\text{s}$									
I_D, I_R	Oberer Vorwärts- und Rückwärts-Sperrstrom	max. forward off-state and reverse currents	$t_v = 125^\circ\text{C}, u_D = U_{DRM} (u_R = U_{RRM})$								8	mA
t_{gd}	Oberer Zündverzug	max. gate controlled delay time									1,2	μ s
t_q	Typische Freiwerdezeit	typical turn-off time									50	μ s
C_{null}	Typische Nullkapazität	typical zero capacitance									400	pF
Thermal Properties		Thermal properties										
R_{thJC}	Innerer Wärmewiderstand	thermal resistance, junction to case	$\Theta = 180^\circ\text{el}, \sinus$								$\leq 1,3^\circ\text{C}/\text{W}$	
		operating temperature	DC								$\leq 1,19^\circ\text{C}/\text{W}$	
		storage temperature									-40°C...+125°C	
											-40°C...+130°C	
Mechanical Properties		Mechanical properties										
G	Si-Element glaspassiviert, gelötet	Si-pellet glass-passivated, soldered									12/20/12 g	
M	Gewicht, Bauform C/B/U	weight, case design C/B/U									2 Nm	
	Anzugsdrehmoment	tightening torque									Seite/page 232	
	Maßbilder	outlines									2 mm	
	Kriechstrecke	creepage distance									C	
	Feuchtekategorie	humidity classification										
	Schüttelfestigkeit	vibration resistance	DIN 40040								5x9,81 m/s ²	
			f = 50 Hz									

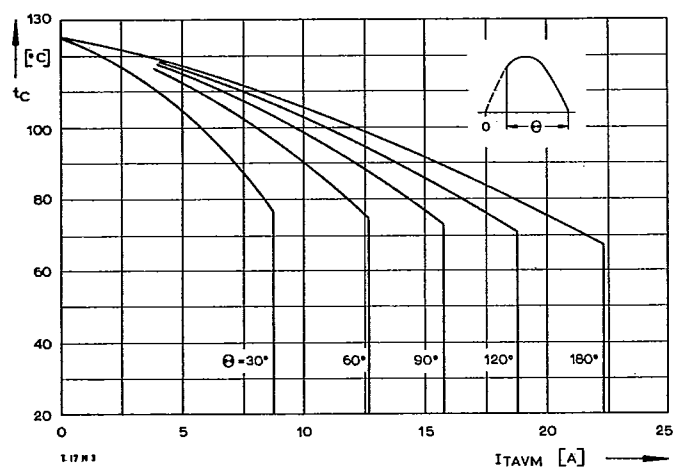
* Für größere Stückzahlen bitte Liefertermin erfragen/Delivery for larger quantities on request



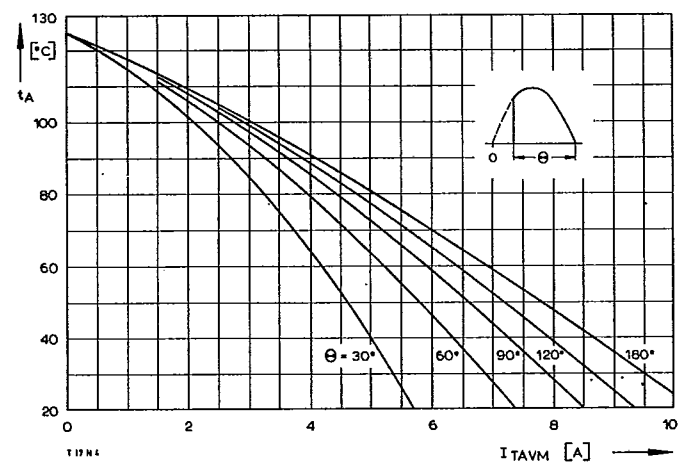
Bild/Fig. 1
Durchlaßkennlinien/On-state characteristics
a - Typische Kennlinien/typical characteristics
b - Grenzkennlinien/limiting characteristics



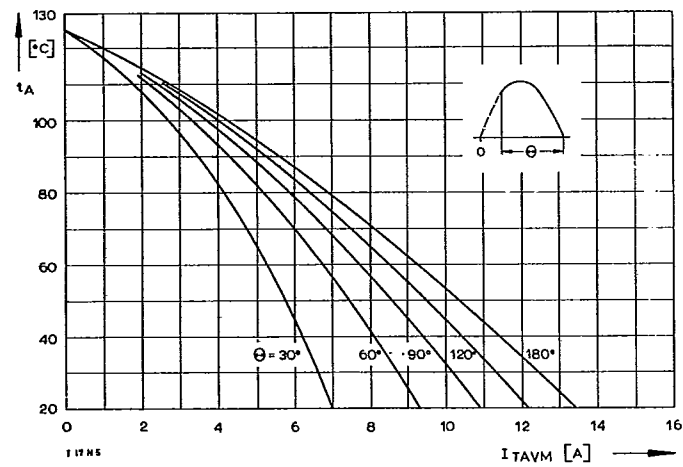
Bild/Fig. 2
Durchlaßverlustleistung P_T /On-state power loss P_T
Parameter: Stromflußwinkel Θ /current conduction angle Θ



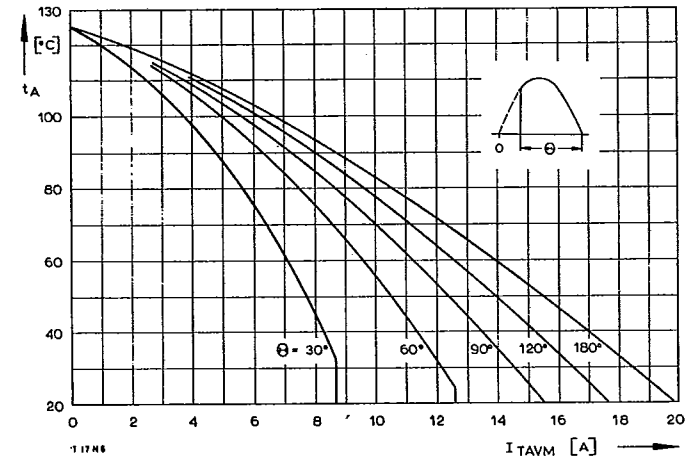
Bild/Fig. 3
Höchstzulässige Gehäusetemperatur t_c
Maximum allowable case temperature t_c



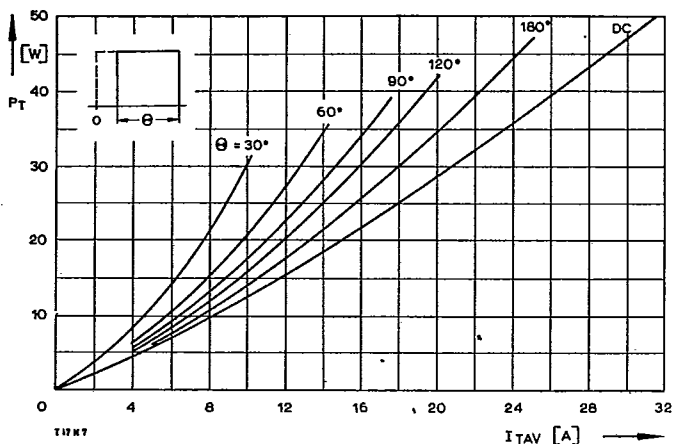
Bild/Fig. 4
Höchstzulässige Kühlmitteltemperatur t_A bei Luftselbstkühlung,
Kühlkörper KL11.
Maximum allowable cooling medium temperature t_A at natural cooling,
heatsink type KL11.



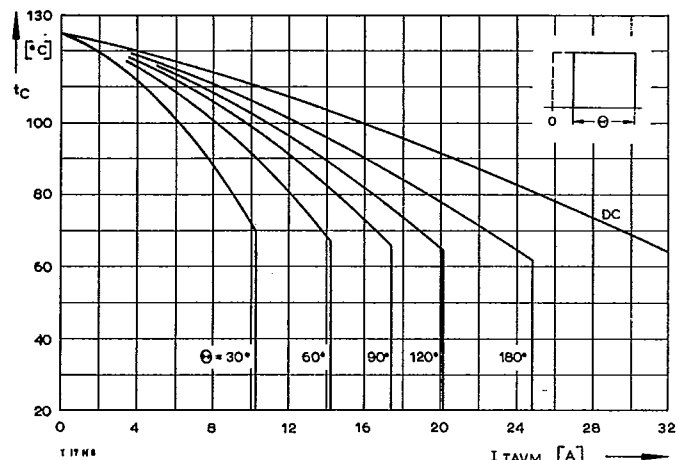
Bild/Fig. 5
Höchstzulässige Kühlmitteltemperatur t_A bei Luftselbstkühlung,
Kühlkörper KL 21B.
Maximum allowable cooling medium temperature t_A at natural cooling,
heatsink type KL 21B.



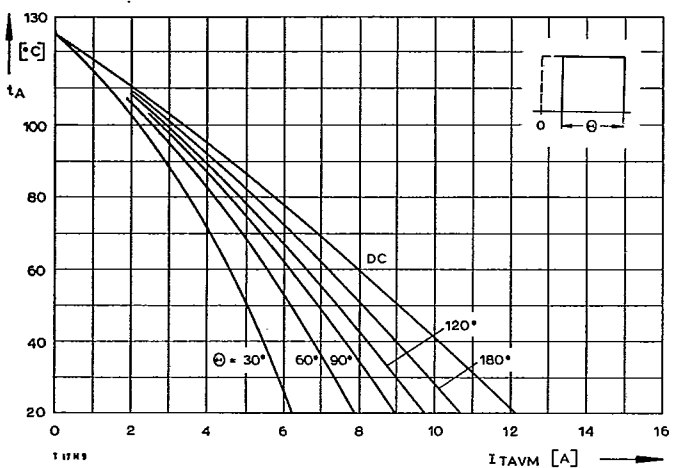
Bild/Fig. 6
Höchstzulässige Kühlmitteltemperatur t_A bei Luftselbstkühlung,
Kühlkörper KL 42.
Maximum allowable cooling medium temperature t_A at natural cooling,
heatsink type KL 42.



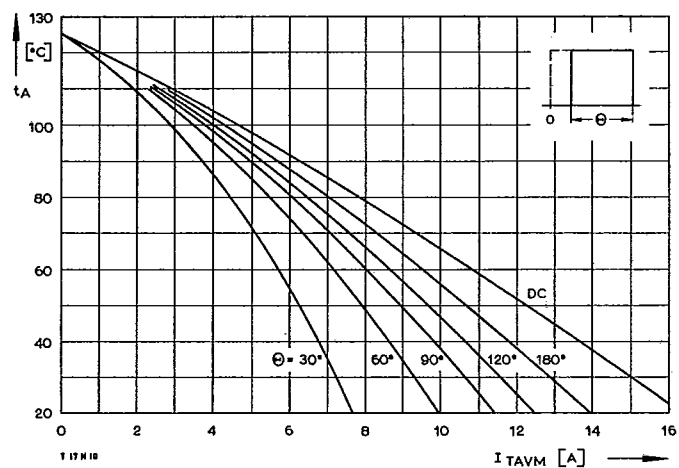
Bild/Fig. 7
Durchlaßverlustleistung P_T /On-state power loss P_T
Parameter: Stromflußwinkel Θ /current conduction angle Θ



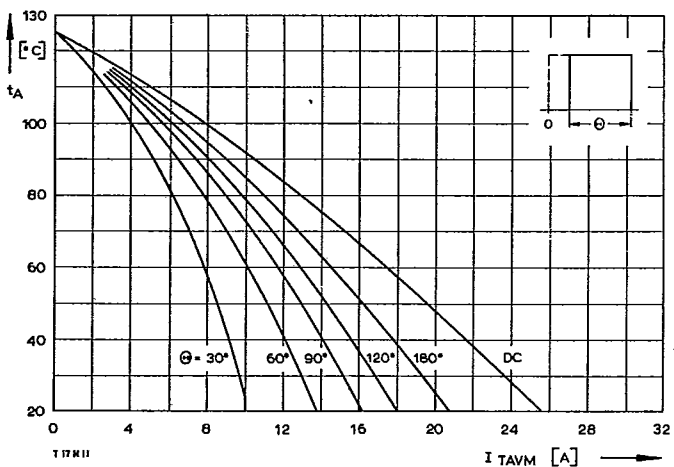
Bild/Fig. 8
Höchstzulässige Gehäusetemperatur t_C
Maximum allowable case temperature t_C



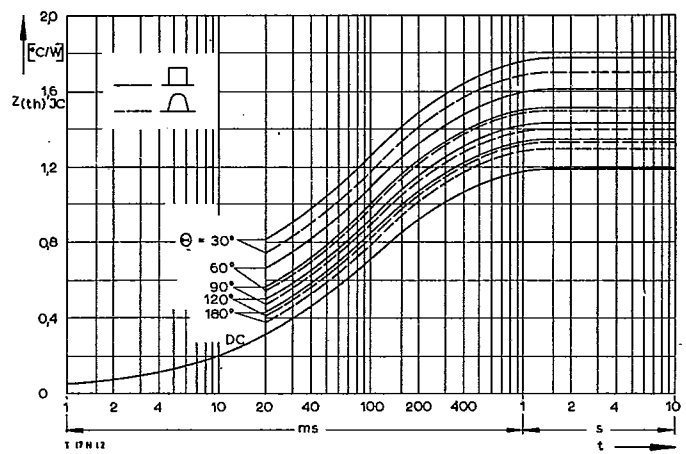
Bild/Fig. 9
Höchstzulässige Kühlmitteltemperatur t_A bei Luftselbstkühlung,
Kühlkörper KL 11.
Maximum allowable cooling medium temperature t_A at natural cooling,
heatsink type KL 11.



Bild/Fig. 10
Höchstzulässige Kühlmitteltemperatur t_A bei Luftselbstkühlung,
Kühlkörper KL 21B.
Maximum allowable cooling medium temperature t_A at natural cooling,
heatsink type KL 21B.



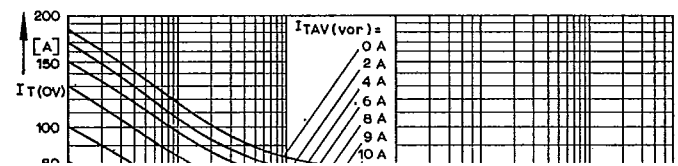
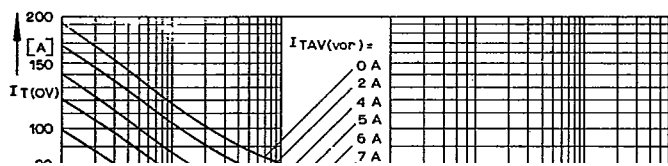
Bild/Fig. 11
Höchstzulässige Kühlmitteltemperatur t_A bei Luftselbstkühlung,
Kühlkörper KL 42...
Maximum allowable cooling medium temperature t_A at natural cooling,
heatsink type KL 42...

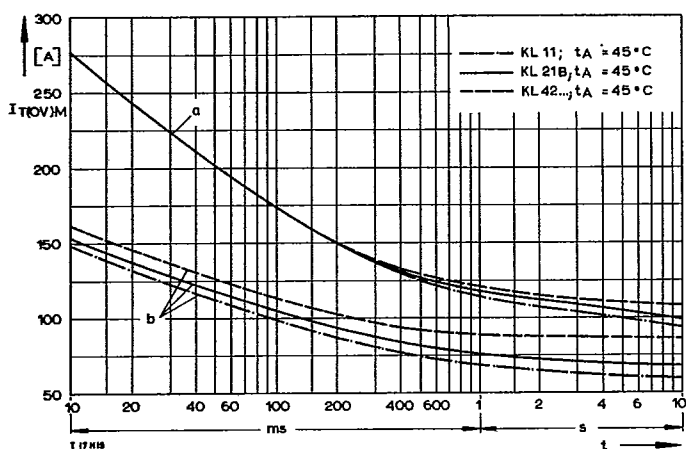


Bild/Fig. 12
Transienter Innerer Wärmewiderstand $Z_{(th)JC}$ bei sinus- und rechteckförmigem
Stromverlauf.
Transient thermal impedance $Z_{(th)JC}$, junction to case at sinusoidal and
square wave current.

A E G CORP

81 DE 0029426 0006068 2 T17 N





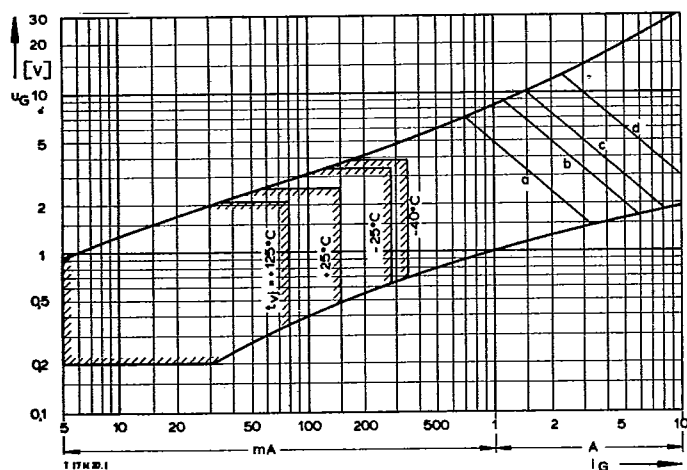
Bild/Fig. 19

Grenzstrom $I_{TOV}M$ bei Luftselbstkühlung, Kühlkörper KL 11, KL 21B und KL 42..., $U_{RM} = 0,8 U_{RRM}$.

Limiting overload on-state current $I_{TOV}M$ at natural cooling, heatsink type KL 11, KL 21B and KL 42..., $U_{RM} = 0,8 U_{RRM}$.

a – Belastung aus Leerlauf/current surge under no-load conditions

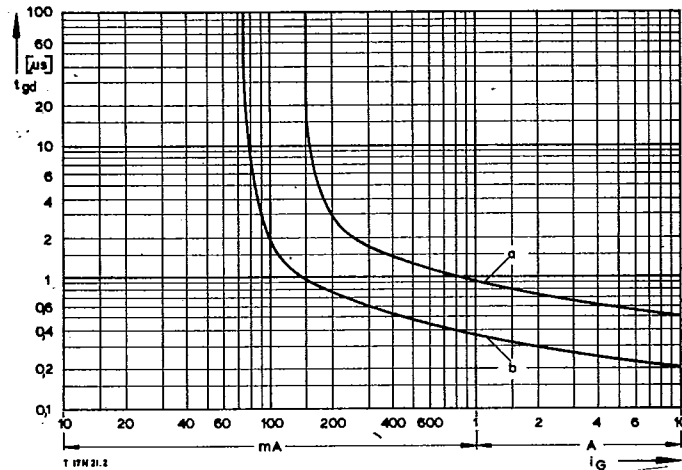
b – Belastung nach Betrieb mit Dauergrenzstrom I_{AVM} /current surge occurs during operation at limiting mean on-state current rating I_{AVM}



Bild/Fig. 20

Zündbereich und Spitzesteuerleistung bei $u_D \geq 6 V$.

Gate characteristic and peak gate power dissipation at $u_D \geq 6 V$.



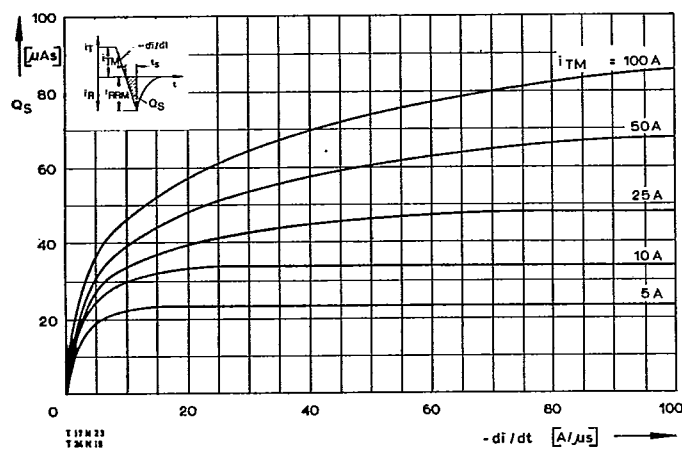
Bild/Fig. 21

Zündverzug t_{gd} , $t_{vj} = 25^\circ C$.

Gate controlled delay time t_{gd} , $t_{vj} = 25^\circ C$.

a – äußerster Verlauf/limiting characteristic

b – typischer Verlauf/typical characteristic



Bild/Fig. 22

Nachlaufladung Q_S in Abhängigkeit von der abkommunizierenden Stromsteilheit $-di/dt$ bei $t_{vj} = 125^\circ C$.

Der angegebene Verlauf wird von 90% aller Thyristoren nicht überschritten.

Lag charge Q_S versus the rate of decay of the forward on-state current $-di/dt$ at $t_{vj} = 125^\circ C$.

These curves are valid for 90% of all thyristors.